

УДК 537.533

© 1993

## ЭЛЕКТРОННО-СТИМУЛИРОВАННАЯ ДЕСОРБЦИЯ АТОМОВ ЦЕЗИЯ С ОКИСЛЕННОЙ ПОВЕРХНОСТИ ВОЛЬФРАМА ПРИ ТЕМПЕРАТУРЕ 77 К

*B. N. Агеев, Ю. А. Кузнецов, Н. Д. Потехина*

С помощью времяпролетной техники исследована электронно-стимулированная десорбция (ЭСД) атомов цезия с окисленной поверхности вольфрама. Впервые обнаружено, что при температуре поверхности  $T = 77$  К энергораспределения (ЭР) атомов цезия при ЭСД состоят из двух пиков при малых покрытиях поверхности цезием. Показано, что ЭСД атомов цезия с поверхности окисленного вольфрама происходит по двум каналам электронного возбуждения из двух различных состояний хемосорбции цезия на окисленном вольфраме, мало отличающихся по энергии связи.

В последние годы достигнут значительный прогресс в понимании механизма электронно-стимулированной десорбции (ЭСД), и это явление все шире используется для изучения адсорбированных слоев [1]. Однако сведения об ЭСД нейтральных частиц еще весьма ограничены из-за трудностей прямой регистрации их потоков. Мы достигли высокой чувствительности таких измерений с помощью поверхностной ионизации [2], что позволило изучать энергораспределения (ЭР) нейтральных частиц при ЭСД в зависимости от различных параметров [3] и, в частности, от температуры поверхности [4] и состояния адсорбированных частиц [5]. Например, нам удалось показать, что ЭР атомов лития при ЭСД весьма чувствительны к степени окисления поверхности вольфрама и состоянию адсорбции лития [6]. В настоящей работе описываются подобные опыты по исследованию ЭР атомов цезия (Cs) с поверхности окисленного вольфрама.

### 1. Экспериментальная техника

ЭР атомов Cs при ЭСД были измерены времяпролетным методом с помощью детектора на основе поверхностной ионизации [3]. В качестве мишени использовалась текстурированная вольфрамовая лента размером  $64 \times 2 \times 0.01$  мм с преимущественным выходом на поверхность грани (100), которая могла охлаждаться до  $T = 77$  К путем охлаждения токоподводов в жидким азотом. Лента предварительно экспонировалась в кислороде либо при  $T = 1550$  К для получения монослойного покрытия атомарного кислорода, либо при  $T = 1100$  К для создания объемной пленки окисла [7]. Цезий напылялся на мишень из прямоканального испарителя, а концентрация напыленного цезия определялась по времени напыления при постоянном потоке атомов Cs, величина которого измерялась по току поверхностной ионизации цезия на мишени при достаточно высокой температуре.

### 2. Результаты измерений

На рис. 1 представлены графики нормированных ЭР атомов Cs с поверхности окисленного вольфрама для различных степеней покрытия поверхности цезием

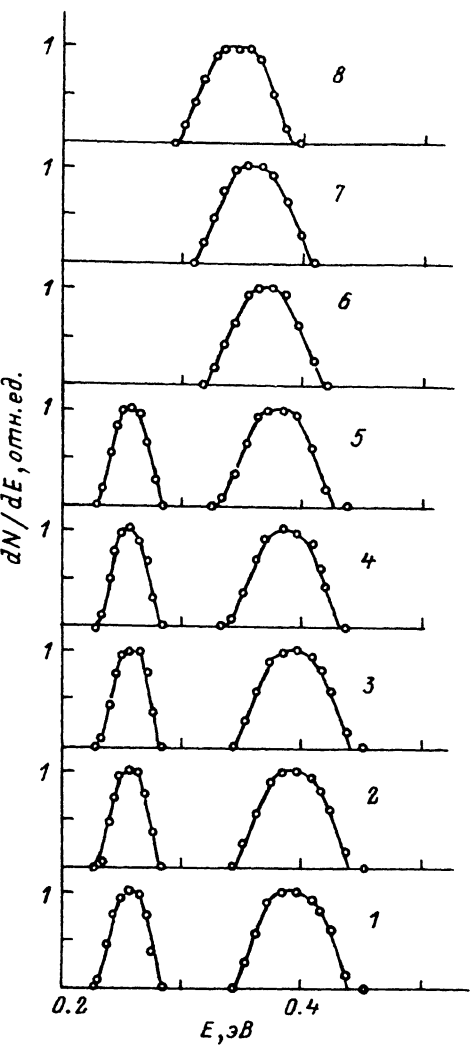
Рис. 1. Нормированные графики ЭР атомов Cs при ЭСД с окисленной поверхности вольфрама для различных степеней покрытия поверхности цезием  $\Theta$  при температуре подложки  $T = 77$  К ( $E_e = 80$  эВ)

$\theta : 1 - 0.010, 2 - 0.050, 3 - 0.100, 4 - 0.125, 5 - 0.250, 6 - 0.375, 7 - 0.500, 8 - 0.750.$

$\Theta$  при температуре подложки  $T = 77$  К. При  $\Theta < 0.3$  ЭР состоит из двух полностью разрешенных пиков: узкого низкоэнергетического (НЭ) и более широкого высокоэнергетического (ВЭ). При  $\Theta < 0.1$  положение пиков фиксированно, а при  $\Theta > 0.1$  ВЭ пик с ростом  $\Theta$  смещается в область меньших энергий. Положение НЭ пика не зависит от  $\Theta$  вплоть до его исчезновения при  $\Theta > 0.3$ , когда ЭР превращаются в колоколообразные кривые с одним максимумом. После нагрева подложки до  $T = 300$  К НЭ пик исчезает, а ВЭ расширяется (рис. 2). Повторное охлаждение подложки до  $T = 77$  К вновь приводит к появлению НЭ пика, но несколько меньшей интенсивности, причем интенсивность ВЭ пика соответственно возрастает относительно первоначальной величины. НЭ пик отсутствует также, если напылять цезий при температуре подложки  $T = 300$  К, однако появляется после ее охлаждения до  $T = 77$  К.

Положение и форма ЭР не зависят от энергии  $E_e$  бомбардирующих электронов в диапазоне  $25$  эВ  $< E_e < 300$  эВ, но зависимость выхода  $q$  атомов Cs от энергии  $E_e$  имеет разный вид для ВЭ и НЭ пиков. На рис. 3 представлены графики зависимости выхода  $q_{\text{ВЭ}}$  и  $q_{\text{НЭ}}$  атомов Cs от  $E_e$  в ВЭ пике (кривая 1) и в НЭ пике (кривая 2). В обоих случаях порог появления ЭСД атомов Cs равен  $\sim 25$  эВ, т. е. может быть связан с энергией ионизации уровня  $2sO$ , однако выход атомов Cs в ВЭ пике ( $q_{\text{ВЭ}}$ ) с ростом энергии проходит через очень пологий максимум, а выход атомов Cs в НЭ пике ( $q_{\text{НЭ}}$ ) обнаруживает значительно более резко выраженный максимум; следовательно, механизмы образования ВЭ и НЭ пиков в ЭР атомов Cs должны быть разными, несмотря на совпадение порогов. Отметим также сходство зависимостей от  $E_e$  для выхода ЭСД в НЭ пике атомов Cs и в ВЭ пике атомов Li [5, 6] (рис. 3), хотя у них разные пороги (25 эВ для Cs и 55 эВ для Li). Порог появления ЭСД атомов Li связан с ионизацией основного уровня физадсорбированного атома лития [5, 6].

На рис. 4 изображены начальные участки графиков зависимостей полного выхода  $q$  при ЭСД атомов Cs, а также выходов  $q_{\text{ВЭ}}$  и  $q_{\text{НЭ}}$  от степени покрытия  $\Theta$  цезием окисленной поверхности вольфрама при температуре 77 К. Кривые 1, 2 и 3 получены сразу после адсорбции цезия при  $T = 77$  К, а приведенные 4, 5 и 6 — после отогрева до  $T = 300$  К пленки цезия, напыленной при температуре поверхности  $T = 77$  К, и последую-



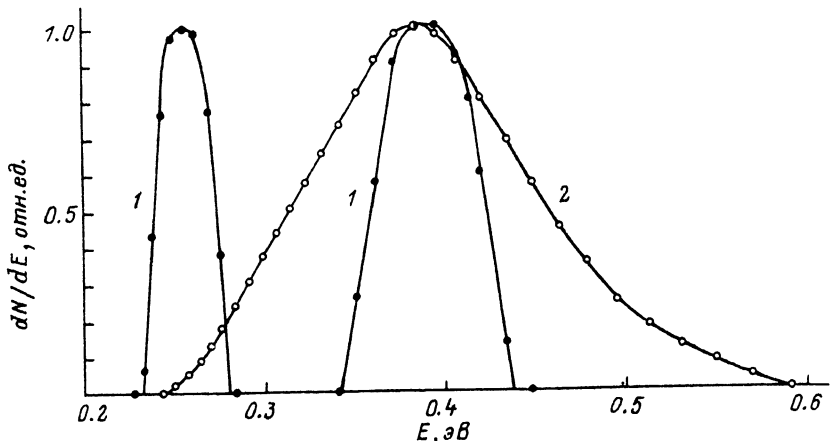


Рис. 2. Нормированные графики ЭР атомов Cs при ЭСД с окисленной поверхности вольфрама для различных температур подложки  $T$  при степенях покрытия поверхности цезием  $\Theta = 0.01 \div 0.05$  ( $E_c = 80$  эВ).

$T$ , К: 1 – 77, 2 – 300.

щего ее охлаждения вновь до  $T = 77$  К. При покрытиях  $\Theta$ , при которых наблюдается НЭ пик атомов Cs, полный выход  $q$  растет с ростом  $\Theta$  нелинейно, а выход в НЭ пике с ростом  $\Theta$  проходит через максимум. После исчезновения НЭ пика полный выход атомов Cs растет с ростом  $\Theta$  до  $\Theta \approx 0.9$  линейно, а затем достигает насыщения. При  $T = 300$  К рост полного выхода линеен с  $\Theta$  в интервале  $0 < \Theta < 0.9$ .

Выход атомов Cs в НЭ и ВЭ пиках в зависимости от степени покрытия поверхности цезием представлен на рис. 5 по отношению к полному выходу атомов Cs. Кривые 1, 2 измерены для ЭСД атомов Cs непосредственно после адсорбции цезия на подложке при  $T = 77$  К, а кривые 3, 4 – после отогрева пленки цезия до  $T = 300$  К и последующего охлаждения вновь до  $T = 77$  К. Видно, что после отогрева пленки соот-

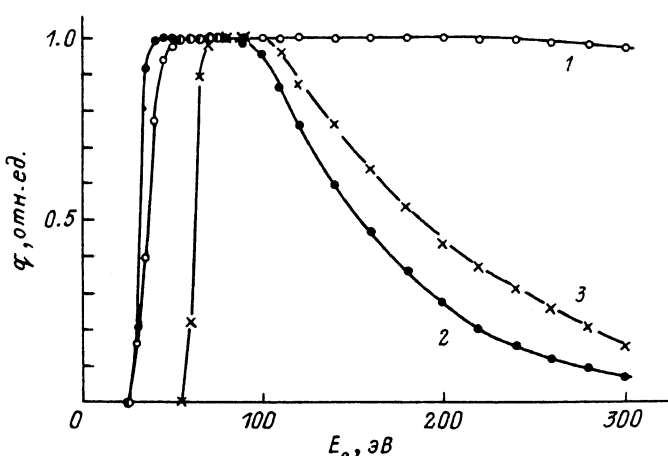


Рис. 3. Нормированные графики зависимостей выхода атомов Cs при ЭСД с окисленной поверхности вольфрама в ВЭ (1) и НЭ (2) пиках ЭР, а также выхода атомов Li при ЭСД с поверхности вольфрама, покрытого пленкой окисла, в ВЭ пике ЭР (3) при температуре подложки  $T = 77$  К от энергии электронов.

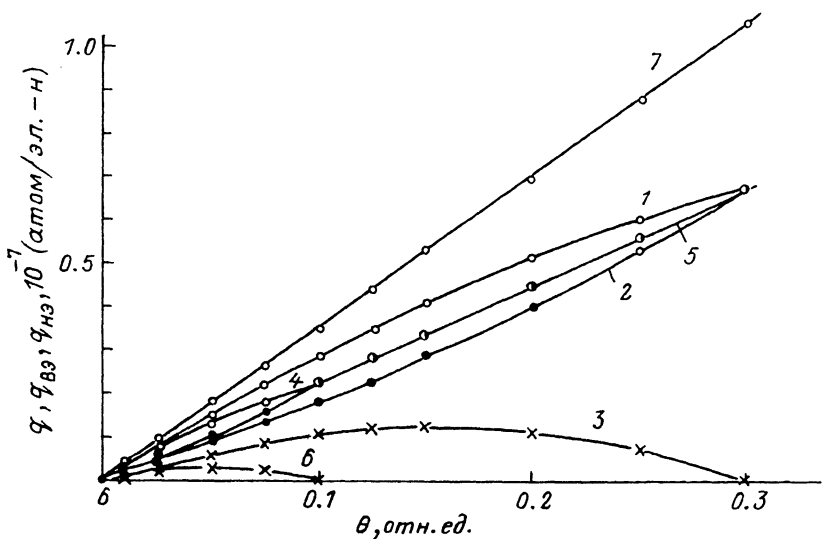


Рис. 4. Начальные участки графиков зависимостей полного выхода (1, 4, 7) и выхода в ВЭ (2, 5) и НЭ (3, 6) пиках ЭР атомов Cs при ЭСД с окисленной поверхности вольфрама от степени покрытия поверхности цезием для различных температур подложки  $T$  ( $E_c = 80$  эВ).

1—6 — 77 К, 7 — 300 К. Кривые 1—3 получены при адсорбции цезия при температуре 77 К, кривые 4—7 — после нагрева адсорбированной пленки цезия до 300 К.

ношения между  $q_{\text{НЭ}}$  и  $q_{\text{ВЭ}}$  изменяется в пользу  $q_{\text{ВЭ}}$ , причем насыщение  $q_{\text{ВЭ}}$  и соответственно исчезновение  $q_{\text{НЭ}}$  с ростом  $\Theta$  происходит с большей скоростью и заканчивается при меньших  $\Theta$ , чем до прогрева пленки. Эффекта, аналогичного прогреву, можно добиться, если напыление цезия производить с помощью ионов  $\text{Cs}^+$  с очень малыми кинетическими энергиями при температуре подложки  $T = 77$  К. Заметим, что все вышеуказанные результаты не зависят от степени окисления поверхности.

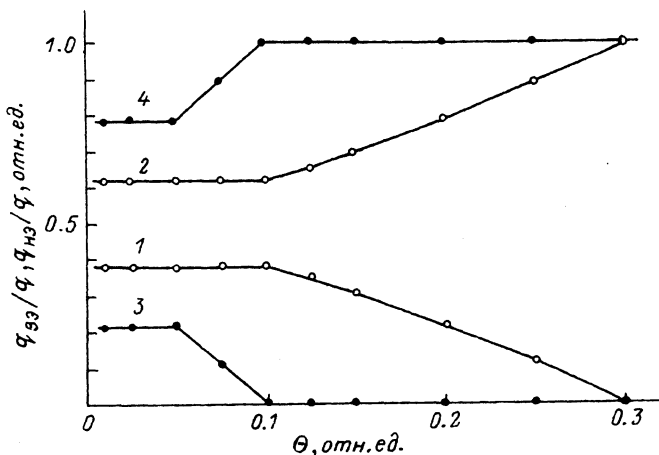


Рис. 5. Зависимости выхода атомов Cs в НЭ (1, 3) и ВЭ (2, 4) пиках ЭР по отношению к полному выходу атомов Cs при ЭСД с окисленной поверхности вольфрама от степени покрытия поверхности цезием при температуре подложки  $T = 77$  К.

Кривые 1, 2 получены при адсорбции цезия при температуре 77 К, кривые 3, 4 — после нагрева адсорбированной пленки цезия до 300 К.

### 3. Обсуждение результатов

Два пика в ЭР атомов Cs при ЭСД с поверхности окисленного вольфрама при малых покрытиях напыленного цезия и температуре подложки  $T = 77$  К качественно можно объяснить присутствием двух хемосорбированных состояний цезия, из которых ЭСД происходит в результате различных каналов электронных возбуждений. В пользу того, что эти состояния являются хемосорбированными, указывает сохранение двух пиков в ЭР атомов Cs при ЭСД после осаждения на поверхность низкоэнергетических ионов  $Cs^+$ , а также после охлаждения до  $T = 77$  К прогретой при  $T = 300$  К пленки цезия. Аналогичные изменения в процедуре формирования пленки лития на окисленном вольфраме приводили к исчезновению ВЭ пика ЭСД атомов Li, связанного с физадсорбированным состоянием лития [5, 6]. Необратимое изменение в соотношении интенсивностей пиков в ЭР атомов Cs после прогрева при  $T = 300$  К адсорбированной при  $T = 77$  К пленки цезия свидетельствует о неравновесной адсорбции цезия при  $T = 77$  К. Увеличение температуры подложки или использование при адсорбции потока медленных ионов  $Cs^+$  приводят к установлению равновесия между хемосорбированными состояниями цезия, которое сохраняется при повторных отжигах и охлаждениях адсорбированной пленки. В случае адсорбции из потока ионов  $Cs^+$  равновесие между хемосорбированными состояниями может устанавливаться и при  $T = 77$  К вследствие взаимодействия ионов с электростатическим потенциалом поверхности.

Так как установление равновесия в адсорбированной пленке цезия сопровождается уменьшением интенсивности НЭ пика в ЭР и соответствующим увеличением интенсивности ВЭ пика, то можно заключить, что НЭ пик атомов Cs связан с менее выгодными местами адсорбции и установление равновесия в адсорбированной пленке цезия происходит за счет переходов цезия из этих состояний в состояния с большей энергией связи. С ростом степени покрытия увеличивается отталкивательное взаимодействие между адсорбированными частицами, что способствует переходу цезия из слабосвязанного состояния в сильносвязанное. Концентрация цезия в слабосвязанном состоянии с ростом  $\Theta$  уменьшается вплоть до его полного исчезновения при  $\Theta > 0.3$ . Отжиг при  $T = 300$  К адсорбированной при  $T = 77$  К пленки цезия, по-видимому, вызывает реконструкцию поверхности в присутствии цезия, которая сопровождается уменьшением потенциального барьера между состояниями адсорбированного цезия. В результате переходы между состояниями цезия начинаются уже при  $\Theta > 0.05$ , а при  $\Theta > 0.1$  в ЭР атомов цезия остается только ВЭ пик. Реконструкция поверхности, по-видимому, не сопровождается заметным изменением латеральных взаимодействий в пленке цезия, так как форма и положение НЭ пика в ЭР атомов Cs не зависят от покрытия. Потенциальный барьер между двумя типами мест хемосорбции цезия уменьшается с ростом температуры поверхности и при  $T = 300$  К отсутствует, так как ЭР атомов Cs не обнаруживают присутствия НЭ пика при этой температуре, а зависимость полного выхода атомов Cs от покрытия становится линейной (рис. 4, кривая 7).

Однозначная идентификация природы адсорбционных мест, приводящих к появлению двух пиков в ЭР атомов Cs при ЭСД, в настоящее время не представляется возможной. Однако расчеты энергии связи ионов  $Cs^+$  с поверхностью окисленного вольфрама в приближении парных потенциалов взаимодействия между ионами  $W - Cs^+$  и  $O^- - Cs^+$  с использованием параметров работ [8–10] показали, что наиболее выгодным положением для хемосорбции иона  $Cs^+$  является положение над отрицательным ионом кислорода (*t*) и с несколько меньшей энергией связи — положение между двумя отрицательными ионами кислорода (*b*). Поэтому можно предположить, что ВЭ пик в ЭР атомов Cs связан

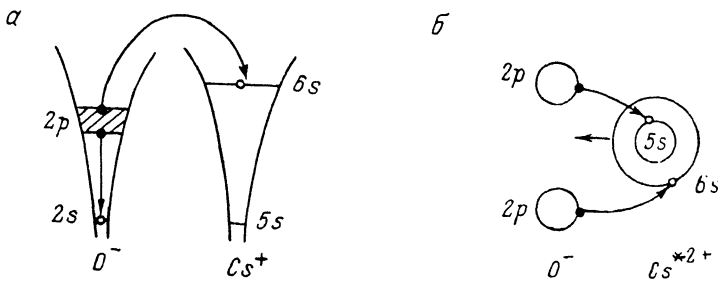


Рис. 6. Схема оже-нейтрализации иона цезия для ВЭ (а) и НЭ (б) пиков ЭР атомов Cs при ЭСД с окисленной поверхности вольфрама.

с ЭСД из состояния *t*, а НЭ пик — с ЭСД из состояния *b*. Другие положения ионов  $Cs^+$  на окисленной поверхности вольфрама оказались энергетически значительно менее выгодными.

В пределах погрешности измерений пороги появления ВЭ и НЭ пиков в ЭР атомов Cs совпадают и их величина близка к величине  $\sim 25$  эВ, которая может быть сопоставлена с энергиями ионизации уровней  $2sO$  и  $5sCs$  [11]. Однако зависимости выхода атомов Cs для ВЭ и НЭ пиков ЭР от энергии первичных электронов качественно отличаются, что приводит к выводу о различных каналах первичного электронного возбуждения, вызывающих ЭСД атомов Cs для этих пиков. Зависимость выхода  $q_{\text{ВЭ}}(E_e)$  качественно подобна аналогичным зависимостям для ЭСД атомов других щелочных металлов при  $T = 300$  К с поверхности окисленного вольфрама [3, 4], которые мы связывали в этих работах с ЭСД атомов щелочных металлов из состояния *t* после ионизации  $2s$ -уровня кислорода. Следовательно, ВЭ пик атомов Cs можно объяснить следующей последовательностью процессов.

После ионизации первичным электроном уровня  $2sO$  дырка на этом уровне заполняется в результате внутриатомного Оже-процесса, который может сопровождаться нейтрализацией положительного иона  $Cs^+$ , связанного с ионом кислорода. Десорбция атомов Cs происходит только после релаксации отрицательного заряда на ионе кислорода (путем захвата двух электронов из подложки), которая обеспечивает расталкивание электронных оболочек иона  $O^-$  и атома Cs (см. рис. 6, а и схему а на рис. 6 в работе [6]).

С другой стороны, зависимость  $q_{\text{НЭ}}(E_e)$  похожа на аналогичную зависимость для ЭСД атомов Li из физадсорбированного состояния лития на окисле вольфрама, возникающей в результате ионизации уровня  $1sLi$  [5, 6], и напоминает зависимость сечения ионизации молекул электронами в газовой фазе. Пологую зависимость  $q(E_e)$  при ЭСД при больших  $E_e$  обычно связывают с вкладом обратно рассеянных электронов в процессе возбуждения адсорбционной связи по аналогии с ростом выхода оже-электронов [12]. Уменьшение этого вклада в НЭ пик атомов Cs по сравнению с вкладом в ВЭ пик позволяет предположить, что первичное возбуждение, приводящее к появлению НЭ пика, связано с ионизацией иона  $Cs^+$ , который экранирован от воздействия вторичных электронов подложки окисным слоем. Следовательно, НЭ пик в ЭР атомов Cs, по-видимому, возникает в результате ионизации уровня  $5sCs$  ионов  $Cs^+$  в состоянии *b*, которая создает дважды заряженный ион  $Cs^{2+}$ , перемещающийся к поверхности за счет сил зеркального изображения. На некотором расстоянии от поверхности ион  $Cs^{2+}$  может быть нейтрализован в результате межатомного Оже-процесса с участием обоих ближайших к иону  $Cs^{2+}$  отрицательных ионов кислорода (рис. 6, б), и атом Cs покидает поверхность вследствие отталкивания его электронной оболочки от электронных оболочек атомов кислорода. Этим объясняется меньшая энергия атомов Cs при ЭСД из состояния *b* по сравнению с ЭСД из состояния *t*, в

котором расталкивание происходит между атомом Cs и отрицательным ионом O<sup>-</sup>. Отсутствие ЭСД атомов Cs при ионизации уровня 5pCs можно объяснить недостатком энергии для нейтрализации иона Cs<sup>+</sup>, выделяющийся при межатомном оже-процессе в результате заполнения 5pCs. С другой стороны, внутриатомный распад вакансии в процессе 5pCs → 5sCs не приводит к ЭСД атома Cs, так как не может обеспечить нейтрализацию иона Cs<sup>2+</sup>. Этот процесс уменьшает число вакансий на уровнях 5sCs, ведущих после межатомного оже-распада к нейтрализации ионов Cs<sup>2+</sup>, и соответственно уменьшает поперечное сечение ЭСД атомов Cs. Однако это уменьшение не слишком велико, так как вероятности внутриатомных и межатомных оже-процессов соизмеримы [13]. Кроме того, отмеченное выше уменьшение поперечного сечения ЭСД атомов Cs из состояния b по сравнению с состоянием t в значительной мере может быть компенсировано большим поперечным сечением ионизации электронами уровня 5sCs по сравнению с сечением ионизации уровня 2sO, так как в состоянии t ион O<sup>-</sup> экранирован от первичного электронного потока расположенным над ним ионом Cs<sup>+</sup>.

Реионизация атома Cs, так же как релаксация отрицательного заряда на одном из двух атомов кислорода, обеспечивающих состояние b, уменьшает поперечное сечение ЭСД атомов Cs. Действительно, реионизация атомов Cs (после релаксации отрицательного заряда на обоих атомах кислорода) переводит адсорбционную систему в основное состояние, а релаксация отрицательного заряда на одном из двух атомов кислорода приводит к возникновению тангенциальной составляющей скорости у удаляющегося от поверхности атома Cs и соответственно к уменьшению вероятности попадания его в апертуру детектора.

Остается объяснить, почему не приводят к ЭСД атомов Cs ионизация уровня 5sCs для иона Cs<sup>+</sup> в положении t, так же как ионизация уровня 2sO для иона Cs<sup>+</sup> в положении b. В положении t атом Cs, продолжая двигаться к поверхности после нейтрализации иона Cs<sup>2+</sup>, взаимодействует с ионом O<sup>+</sup>, что, по-видимому, приводит к высокой вероятности его реионизации по сравнению с атомом Cs в положении b, взаимодействующим с двумя атомами O<sup>0</sup>. С другой стороны, ионизация уровня 2s в одном из ионов O<sup>-</sup>, ближайших к иону Cs<sup>+</sup> в положении b, создает после оже-нейтрализации иона Cs<sup>+</sup> тангенциальную составляющую скорости для уходящего атома Cs и, следовательно, уменьшает вероятность его попадания в детектор. Кроме того, движение вдоль поверхности повышает вероятность реионизации атома Cs.

Таким образом, в настоящей работе впервые обнаружены два пика в ЭР атомов Cs при ЭСД с поверхности окисленного вольфрама при температуре подложки T = 77 К и малых покрытиях поверхности цезием. Установлено, что эти пики связаны с разными состояниями хемосорбированного цезия и разными каналами возбуждения адсорбционной связи. Таким образом, ЭР нейтральных частиц при ЭСД можно использовать для анализа хемосорбированных состояний.

#### Список литературы

- [1] Ареев В. Н., Бурмистрова О. П., Кузнецов Ю. А. // УФН. 1989. Т. 158. № 3. С. 389—420.
- [2] Ареев В. Н., Кузнецов Ю. А., Якшинский Б. В. // ФТГ. 1982. Т. 24. № 2. С. 349—355.
- [3] Ареев В. Н., Бурмистрова О. П., Кузнецов Ю. А. // ФТГ. 1987. Т. 29. № 6. С. 1740—1746.
- [4] Ареев В. Н., Бурмистрова О. П., Кузнецов Ю. А. // ФТГ. 1989. Т. 31. № 9. С. 91—96.
- [5] Ареев В. Н., Кузнецов Ю. А. // Письма в ЖТФ. 1990. Т. 16. № 5. С. 38—42.
- [6] Ареев В. Н., Кузнецов Ю. А., Потекина Н. Д. // ФТГ. 1991. Т. 33. № 6. С. 1834—1845.
- [7] Ареев В. Н., Ионов Н. И. // ФТГ. 1969. Т. 11. № 11. С. 3200—3209.
- [8] Eliezer I., Krindel P. // J. Chem. Phys. 1972. V. 57. N 5. P. 1884—1891.
- [9] Gowda B. T., Benson S. W. // J. Chem. Phys. 1982. V. 86. N 2. P. 847—857.
- [10] Куценко Э. Н., Потекина Н. Д. // ЖТФ. 1973. Т. 43. № 2. С. 391—398.
- [11] Радиг А. А., Смирнов Б. М. Параметры атомов и атомных ионов. Справочник. М.: Энергогатомиздат, 1986. 344 с.

- [12] Сих М. П. Анализ поверхности методами Оже- и рентгеновской фотоэлектронной спектроскопии /  
Под ред. Д. Бригтса и М. П. Сиха. М.: Мир, 1987. С. 203—243.
- [13] Хэгструм Х. Электронная и ионная спектроскопия твердых тел / Под ред. Л. Фирмэнса, Дж.  
Вэнника и В. Декейсера. М.: Мир, 1981. С. 281—344.

Физико-технический институт  
им. А. Ф. Иоффе РАН  
Санкт-Петербург

Поступило в Редакцию  
25 августа 1992 г.

---